

МАТЕМАТИЧЕСКОЕ МОДЕЛИРОВАНИЕ ПЕРЕХОДНОГО ПРОЦЕССА В ВЫХОДНОЙ ЦЕПИ УПРАВЛЯЕМОГО ЭЛЕКТРОХИМИЧЕСКОГО СОПРОТИВЛЕНИЯ С КОМПЛЕКСНОЙ НАГРУЗКОЙ.

Герасименко Е.Ю.; Герасименко Р.Ю.; Голованов А.А.

(Донской государственной технической университет, г. Ростов-на-Дону, Россия)

Управляемое электрохимическое сопротивление (УЭХС) представляет собой цилиндрический проводник (подложку) длиной l прямоугольного сечения $a \times r$, изготовленный из стеклографита. Если на боковую поверхность УЭХС наносить электрохимическим способом тонкий слой металла, то сечение слоеного проводника будет увеличиваться, а его сопротивление уменьшаться. Зависимость выходного сопротивления УЭХС от тока в цепи управления определяется формулой

$$R(t) = \frac{\rho_0 \rho_m l}{\rho_0 \frac{k \int_0^t I_y(t) dt}{\gamma_m l} + \rho_m a r},$$

где $I_y(t)$ - ток управления,

ρ_0 - удельное сопротивление подложки,

ρ_m - удельное сопротивление осаждаемого металла,

k - электрохимический эквивалент осаждаемого металла,

γ_m - объемная плотность осаждаемого металла.

Требуется рассчитать переходной процесс в выходной цепи УЭХС с комплексной нагрузкой $R_0 - L_0 - C_0$ (рис. 1) при включении на постоянную э.д.с. E_0 .

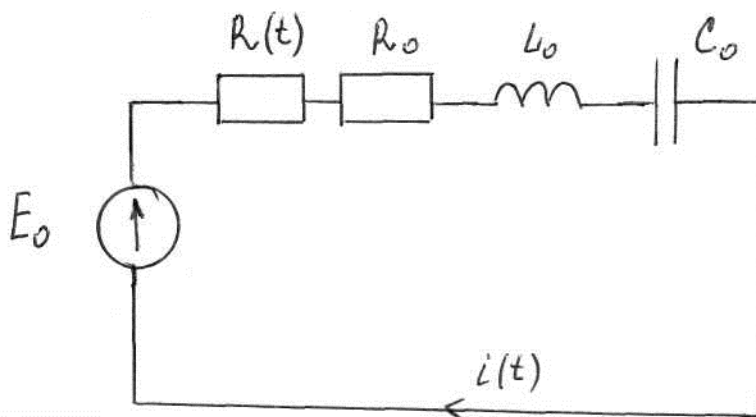


Рисунок 1 - Включение $R(t)$ с комплексной нагрузкой

Второй закон Кирхгофа для приведенной на рис. 1 схемы имеет вид

$$i(t)R(t) + i(t)R_0 + L_0 \frac{di(t)}{dt} + \frac{1}{C_0} \int_0^t i(t) dt = E_0. \quad (1)$$

Для получения дифференциального уравнения относительно $i(t)$ продифференцируем (1) по t .

$$\frac{di(t)}{dt}R(t) + i(t)\frac{dR(t)}{dt} + R_0\frac{di(t)}{dt} + L_0\frac{d^2i(t)}{dt^2} + \frac{1}{C_0}i(t) = 0. \quad (2)$$

Уравнение (2) после преобразований приобретает вид

$$L_0\frac{d^2i(t)}{dt^2} + (R_0 + R(t))\frac{di(t)}{dt} + \left(\frac{1}{C_0} + \frac{dR(t)}{dt}\right)i(t) = 0. \quad (3)$$

Получим начальные условия для дифференциального уравнения (3)

По законам коммутации для схемы на рис. 1 можно записать

$$i(0-0) = i(0+0) = 0, \quad (4)$$

$$u_{C_0}(0-0) = u_{C_0}(0+0) = 0. \quad (5)$$

Из (4) следует, что

$$i(0) = 0. \quad (6)$$

С помощью (4) и (5) для начального момента $t = 0+0$ из (1) можно получить $L_0\frac{di(0)}{dt} = E_0$, откуда имеем

$$\frac{di(0)}{dt} = \frac{E_0}{L_0}. \quad (7)$$

Дифференциальное уравнение (3) – уравнение второго порядка с переменными коэффициентами. Поэтому в общем случае оно аналитически не разрешимо. Для решения задачи Коши (3), (6), (7) используем численный метод Эйлера. Введем в рассмотрение функции

$$x^{(1)}(t) = i(t), \quad x^{(2)}(t) = \frac{di(t)}{dt} = \frac{dx^{(1)}}{dt}.$$

С учетом введенных функций задача Коши (3), (6), (7) сводится к задаче Коши для системы нормальных уравнений

$$\begin{cases} \frac{dx^{(1)}(t)}{dt} = x^{(2)}(t) \\ \frac{dx^{(2)}(t)}{dt} = -\left(\frac{1}{L_0C_0} + \frac{1}{L_0}\frac{dR(t)}{dt}\right)x^{(1)}(t) - \left(\frac{R(t)}{L_0} + \frac{R_0}{L_0}\right)x^{(2)}(t) \end{cases} \quad (8)$$

с начальными условиями

$$x^{(1)}(0) = 0, \quad (9)$$

$$x^{(2)}(0) = \frac{E_0}{L_0}. \quad (10)$$

Введем в рассмотрение следующие векторы:

$$\bar{X}(t) = \begin{pmatrix} x^{(1)}(t) \\ x^{(2)}(t) \end{pmatrix}, \quad \bar{F}(x^{(1)}(t); x^{(2)}(t); t) = \begin{pmatrix} f_1(x^{(1)}(t); x^{(2)}(t); t) \\ f_2(x^{(1)}(t); x^{(2)}(t); t) \end{pmatrix}, \quad \bar{X}(0) = \begin{pmatrix} x^{(1)}(0) \\ x^{(2)}(0) \end{pmatrix},$$

где

$$f_1(x^{(1)}(t); x^{(2)}(t); t) = x^{(2)}(t)$$

$$f_2(x^{(1)}(t); x^{(2)}(t); t) = -\left(\frac{1}{L_0 C_0} + \frac{1}{L_0} \frac{dR(t)}{dt}\right)x^{(1)}(t) - \left(\frac{R(t)}{L_0} + \frac{R_0}{L_0}\right)x^{(2)}(t).$$

Введенные векторы позволяют задачу (8)-(10) записать в векторной форме:

$$\frac{d\bar{x}(t)}{dt} = \bar{F}(x^{(1)}(t); x^{(2)}(t); t) \quad (11)$$

с начальным условием

$$\bar{X}(0) = \begin{pmatrix} x^{(1)}(0) \\ x^{(2)}(0) \end{pmatrix}. \quad (12)$$

Задачу Коши (11), (12) будем решать методом Эйлера в векторной форме [1]

$$\bar{X}_{j+1} = \bar{X}_j + h\bar{F}(X_j^{(1)}; X_j^{(2)}(t); t_j), \quad (13)$$

$$\text{где } \bar{X}_0 = \bar{X}(0), \quad (14)$$

$$h = \frac{t_{\max}}{n}.$$

Векторному итерационному процессу (13), (14) соответствуют два скалярных процесса

$$\begin{cases} x_{j+1}^{(1)} = x_j^{(1)} + hf_1(x_j^{(1)}; x_j^{(2)}; t_j) \\ x_{j+1}^{(2)} = x_j^{(2)} + hf_2(x_j^{(1)}; x_j^{(2)}; t_j) \end{cases} \quad (15)$$

при начальных условиях

$$x_0^{(1)} = 0, \quad (16)$$

$$x_0^{(2)} = \frac{E_0}{L_0}. \quad (17)$$

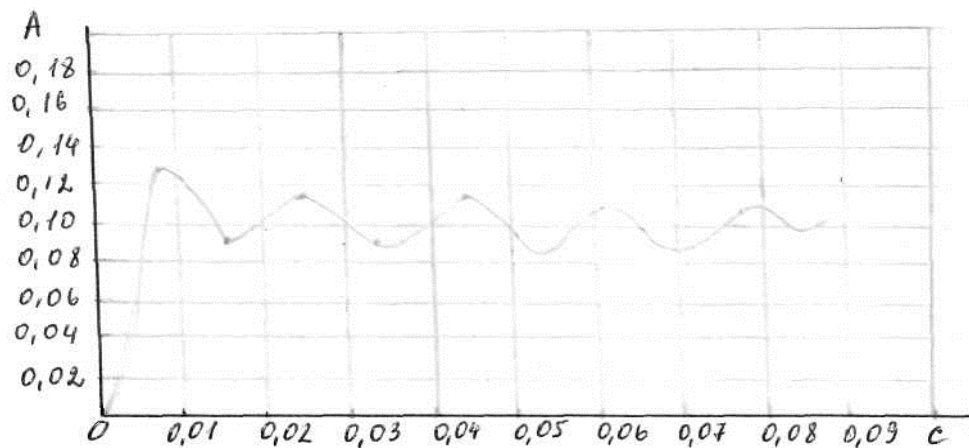


Рисунок 2 - График эквивалентности $i(t)$

При $C_0 = 10^{-2}$ Ф, $R_0 = 10$ Ом, $L_0 = 10^{-2}$ Гн $I_y(t) = I_0 = 0,010$ А, $E_0 = 1$ В была рассчитана зависимость тока $i(t)$ (рис. 2) в схеме, представленной на рис. 1.

Перечень ссылок

1. Герасименко Е.Ю., Скакунова Т.П., Герасименко Р.Ю. Математическое моделирование переходного процесса в выходной цепи УЭХС. Вестник ДГТУ, 2012 г, №3, г. Ростов-на-Дону.